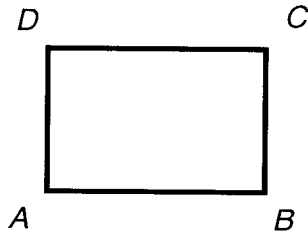


## Compito di Meccanica Razionale

Trieste, 3 giugno 2008

G. Tondo

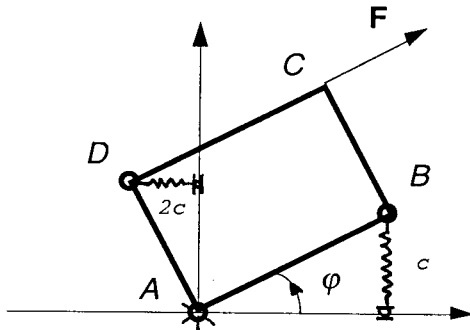


È dato un *telaio* rettangolare omogeneo di lati  $\overline{AB} = 3l$ ,  $\overline{BC} = 2l$  e massa  $m$ .

- 1) Calcolare il momento d'inerzia del telaio rispetto alla sua diagonale.

### STATICA.

Si vincoli il telaio in un piano orizzontale con una cerniera fissa e liscia in  $A$ . Le forze attive sono: la forza  $\mathbf{F}_C = F \text{vers}(\mathbf{C} - \mathbf{D})$  applicata in  $C$  e la forza di richiamo delle due molle.



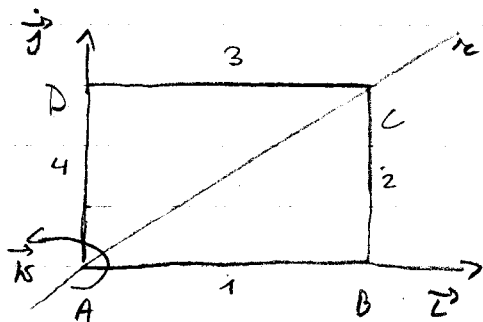
- 2) Determinare tutte le configurazioni di equilibrio e discuterne la stabilità, in funzione dei parametri del problema;
- 3) calcolare le reazioni vincolari in  $A$  all'equilibrio.

### DINAMICA.

Inoltre si chiede di:

- 4) scrivere un integrale primo di moto a partire dai dati iniziali  $\varphi = 0$ ,  $\dot{\varphi} = 0$ ;
- 5) scrivere un'equazione differenziale pura di moto;
- 6) calcolare le reazioni vincolari in  $A$  durante il moto in funzione di  $\varphi$ .

Tema d'esame del 3 giugno 2008



$$\overline{AB} = 3l, \quad \overline{BC} = 2l$$

$$I_z = ?$$

I metodo

Per calcolare  $I_z$ , calcolo prima la matrice d'inerzia  $I_A$  del telaio e poi userò la formula

$$I_z = \text{vers}(C-A) \cdot I_A \cdot \text{vers}(C-A) \quad \text{vers}(C-A) = \frac{(C-A)}{|C-A|} =$$

$$= \frac{3\vec{i} + 2\vec{j}}{\sqrt{13}}$$

Calcolo di  $I_A$

Poiché il telaio è omogeneo, la sua densità (costante) di massa sarà:

$$\rho(P) = \frac{m}{10l} \Rightarrow m_1 = \rho 3l = \frac{3}{10}m, \quad m_2 = \rho 2l = \frac{1}{5}m$$

Fino una terna solidale al telaio:  $(\vec{i}, \vec{j}, \vec{k})$  e denoto la matrice d'inerzia con

$$I_A = \begin{bmatrix} I_x & I_{xy} & 0 \\ I_{xy} & I_y & 0 \\ 0 & 0 & I_z \end{bmatrix}$$

$$\begin{aligned} I_{xz} = I_{yz} = 0 & \quad \text{poiché il telaio} \\ I_z = I_x + I_y & \quad \text{è un rigido piano} \end{aligned}$$

Calcolo i momenti d'inerzia  $I_x$  e  $I_y$  come somma dei momenti d'inerzia dei singoli lati del telaio.

$$I_x = I_x^{(1)} + I_x^{(2)} + I_x^{(3)} + I_x^{(4)} = 2I_x^{(2)} + I_x^{(4)}$$

per la simmetria dei lati 2 e 4 vs.  $\vec{x}$ .

$$I_x^{(2)} = \frac{1}{3} m_2 l_2^2 = \frac{1}{3} \left( \frac{1}{5} m \right) (2l)^2 = \frac{4}{15} m l^2 \quad (\text{momento d'inerzia di un'asta ss. a un'asse ortogonale per un mo estremo})$$

$$I_x^{(3)} = m_3 l_2^2 = \frac{3}{10} m l^2 = \frac{6}{5} m l^2 \quad (\text{Teo di Huygens-Steiner})$$

$$\text{Quindi } I_x = \left( \frac{8}{15} + \frac{6}{5} \right) m l^2 = \frac{26}{15} m l^2$$

Analogamente

$$I_y = I_y^{(1)} + I_y^{(2)} + I_y^{(3)} + \cancel{I_y^{(4)}} = 2 I_y^{(1)} + I_y^{(2)}$$

$$I_y^{(1)} = \frac{1}{3} m_3 l_3^2 = \frac{1}{3} \left( \frac{3}{10} m \right) (3l)^2 = \frac{9}{10} m l^2$$

$$I_y^{(2)} = m_2 l_1^2 = \frac{1}{5} m (3l)^2 = \frac{9}{5} m l^2$$

Dunque

$$I_y = \left( \frac{9}{5} + \frac{9}{5} \right) m l^2 = \frac{18}{5} m l^2$$

Calcolo il momento deviatore tramite la formula

$$I_{xy} = - \int_{\mathcal{B}} \rho(P) x(P) y(P) d\tau$$

tenendo conto che l'elemento  $d\tau$  è unidimensionale e l'integrale nel telaio si può esprimere in 4 integrali sui singoli lati

$$I_{xy} = - \int_{x_1, x_2, x_3, x_4} \rho(P) x(P) y(P) ds$$

Quindi

$$\begin{aligned}
I_{xy} &= - \rho \int_0^{3l} x y(x) dx - \rho \int_0^{2l} dy 3l y - \rho \int_0^{3l} dx x 2l - \int_0^{2l} x y |_{x=0} dy \\
&= - \frac{m}{10l} \left[ 3l \frac{y^2}{2} \right]_0^{2l} - \frac{m}{10l} \left[ 2l \frac{x^2}{2} \right]_0^{3l} = \\
&= - \frac{m}{10l} \left( \frac{3l}{2} 4l^2 + l 9l^2 \right) = - \frac{15}{2+10} ml^2 = - \frac{3}{2} ml^2
\end{aligned}$$

Infine  
(3.1)

$$I_z = I_x + I_y = \left( \frac{26}{15} + \frac{18}{5} \right) ml^2 = \frac{16}{15} ml^2 = \frac{16}{3} ml^2$$

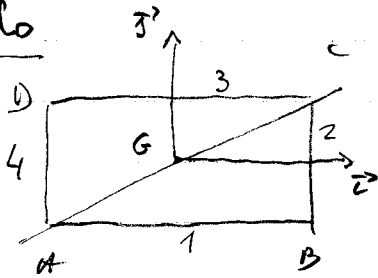
Dunque, la matrice d'inerzia è data da

$$I_A = ml^2 \begin{bmatrix} \frac{26}{15} & -\frac{3}{2} & 0 \\ -\frac{3}{2} & \frac{18}{5} & 0 \\ 0 & 0 & \frac{16}{3} \end{bmatrix}$$

e  $I_z$  da

$$I_z = \frac{1}{\sqrt{13}} [3, 2] ml^2 \begin{bmatrix} \frac{26}{15} & -\frac{3}{2} \\ -\frac{3}{2} & \frac{18}{5} \end{bmatrix} \frac{1}{\sqrt{13}} \begin{bmatrix} 3 \\ 2 \end{bmatrix} = \frac{12}{13} ml^2$$

## II metodo



Calcoliamo la matrice d'inerzia rispetto a G e poi

$$I_2 = \text{vers}(C-A) \cdot I_G \quad (\text{vers}(C-H))$$

Se scelgo  $\vec{i}$  e  $\vec{j}$  come in figura, essendo assi di simmetria del telaio, saranno anche API(G). Allora  $I_G$  sarà diagonale:

$$I_G = \begin{bmatrix} \bar{J}_x & 0 & 0 \\ 0 & \bar{J}_y & 0 \\ 0 & 0 & \bar{J}_x + \bar{J}_y \end{bmatrix}$$

Quindi, basterà calcolare  $\bar{J}_x$  e  $\bar{J}_y$ .

$$\bar{J}_x = \bar{J}_x^{(1)} + \bar{J}_x^{(2)} + \bar{J}_x^{(3)} + \bar{J}_x^{(4)} = 2\bar{J}_x^{(1)} + 2\bar{J}_x^{(2)}$$

$$\bar{J}_x^{(1)} = m_1 \left(\frac{l_2}{2}\right)^2 = \frac{3}{10} ml^2, \quad \bar{J}_x^{(2)} = \frac{1}{12} m_2 l_2^2 = \frac{1}{12} \frac{1}{3} ml^2 = \frac{1}{15} ml^2$$

Dunque:

$$\bar{J}_x = 2 \left( \frac{3}{10} + \frac{1}{15} \right) ml^2 = \frac{11}{15} ml^2$$

Analogamente

$$\bar{J}_y = \bar{J}_y^{(1)} + \bar{J}_y^{(2)} + \bar{J}_y^{(3)} + \bar{J}_y^{(4)} = 2\bar{J}_y^{(1)} + 2\bar{J}_y^{(2)}$$

$$J_y^{(1)} = \frac{1}{12} m_1 l_1^2 = \frac{1}{12 \cdot 10} 3 m 9 l^2 = \frac{9}{40} m l^2$$

$$J_y^{(2)} = m_2 \left(\frac{l_1}{2}\right)^2 = \frac{1}{5} m \left(\frac{3}{2} l\right)^2 = \frac{9}{20} m l^2$$

$$J_y = 2 \left(\frac{9}{40} + \frac{9}{20}\right) m l^2 = \frac{27}{20} m l^2$$

Allora

$$I_G = m l^2 \begin{bmatrix} \frac{11}{15} & 0 & 0 \\ 0 & \frac{27}{20} & 0 \\ 0 & 0 & \frac{25}{12} \end{bmatrix}$$

e

$$I_z = \frac{1}{\sqrt{13}} [3, 2] m l^2 \begin{bmatrix} \frac{11}{15} & 0 \\ 0 & \frac{27}{20} \end{bmatrix} \frac{1}{\sqrt{13}} \begin{bmatrix} 3 \\ 2 \end{bmatrix} = \frac{m l^2}{13} [3, 2] \begin{bmatrix} \frac{11}{5} \\ \frac{27}{10} \end{bmatrix} = \frac{12 m l^2}{13}$$

N.B. Con questo metodo abbiamo risparmiato il calcolo di un momento deviatore. Tuttavia, in dinamica dovremo calcolare  $I_{Az}$ . Lo possiamo fare con il Teo. di Huygens.

$$I_{Az} = J_z + m d(A, G)^2 = \frac{25}{12} m l^2 + m \left(\frac{\sqrt{13}}{2} l\right)^2$$

$$= m l^2 \left(\frac{25}{12} + \frac{13}{4}\right) = m l^2 \frac{64}{12} = \frac{16}{3} m l^2$$

## Analisi cinematica

Il rigido piano è vincolato con una cerniera fissa in A (vincolo doppio). Quindi, i gradi di libertà reali per il telaio vincolato sono:

$$l = 3 - 2 = 1$$

La coordinata libera indicata in figura è l'angolo  $\varphi$ .

## Statica

Il rigido ha 1 g.l., vincoli non dissipativi e forze conservative. Quindi è (localmente) conservativo. L'energia potenziale delle molle è data da:

$$\begin{aligned} V^{(el)}(\varphi) &= \frac{1}{2} c \overline{BP}^2 + \frac{1}{2} (kc) \overline{DQ}^2 = \frac{1}{2} c (3l \sin \varphi)^2 + c (2l \sin \varphi)^2 = \\ &= \left( \frac{9}{2} + 4 \right) c l^2 \sin^2 \varphi = \frac{17}{2} c l^2 \sin^2 \varphi \end{aligned}$$

Calcoliamo l'energia potenziale del carico follower  $\vec{F}_c$  mediante il suo LV:

$$\begin{aligned} LV^{(cell)} &= \vec{F}_c \cdot \delta \vec{r}_c = \vec{F}_c \cdot \delta \vec{r}_A + (C-A) \times \vec{F}_c \cdot \vec{\chi} \quad \vec{\chi} = \delta \varphi \vec{e}_3 \\ &= -F 2l \delta \varphi \end{aligned}$$

dove si è tenuto conto che il modulo del momento di una forza applicata è pari al prodotto del modulo della forza per il suo braccio che, in questo caso, è uguale a  $2l$ .

Allora la forza generalizzata relativa al carico follower è

$$Q_{\varphi}^{(Roll)} = -2Fl$$

quindi la nostra energia potenziale

$$V^{(Roll)}(\varphi) = -\int Q_{\varphi} = 2Fl\varphi$$

Dunque, l'energia potenziale del sistema è

$$(7.1) V(\varphi) = \frac{17}{2}cl^2 \sin^2 \varphi + 2Fl\varphi$$

Per trovare i punti di equilibrio, determiniamo i punti stazionari.

$$(7.2) V'(\varphi) = 17cl^2 \sin \varphi \cos \varphi + 2Fl = -Q_{\varphi}$$

Dunque, l'equazione pura di equilibrio è

$$17cl^2 \sin \varphi \cos \varphi = -2Fl$$

che equivale a

$$(7.3) \quad \sin 2\varphi = \lambda \quad \lambda := -\frac{4F}{17cl} < 0$$

Risolviamo graficamente l'equazione (7.3)



■  $y = \sin 2x$

$x := \varphi$

■  $y = \cos 2x$

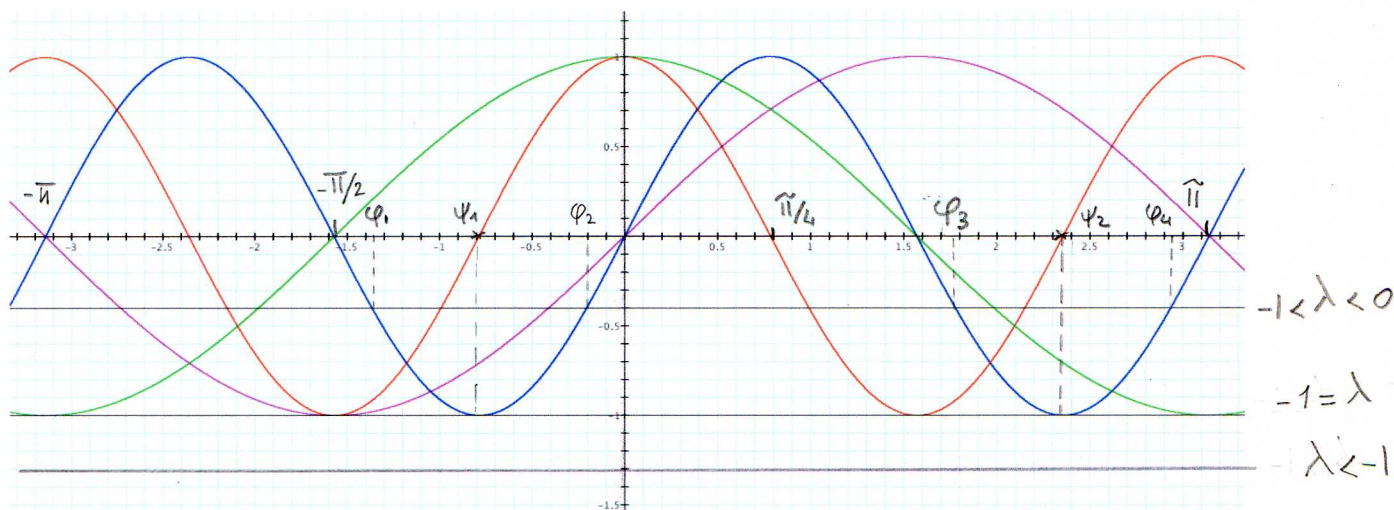
■  $y = \sin x$

■  $y = \cos x$

■  $y = -1$

■  $y = n$

$n := \lambda$



$\lambda < -1$  Nessune soluzioni

$\lambda = -1$  2 soluzioni  $\varphi_1 = -\frac{\pi}{4}$ ,  $\varphi_2 = \frac{3\pi}{4}$

$-1 < \lambda < 0$  4 soluzioni  $\varphi_1 = -\frac{\pi}{2} - \varphi$ ,  $\varphi_2 = \varphi$   
 $\varphi_3 = \frac{\pi}{2} - \varphi$ ,  $\varphi_4 = \pi + \varphi$   
 dove  $-\frac{\pi}{4} < \varphi = \frac{1}{2} \arcsin \lambda < 0$

## Stabilità degli equilibri

Per il Teo di Dirichlet i punti di minimo di  $V$  sono equilibri stabili mentre per un Teo. di Liapunov, i punti stazionari che non sono punti di minimo sono equilibri instabili. Calcoliamo la  $V''(\varphi)$

$$V(\varphi) = \frac{17}{2} cl^2 (\sin^2 \varphi - \lambda \varphi)$$

$$V'(\varphi) = \frac{17}{2} cl^2 (\sin 2\varphi - \lambda)$$

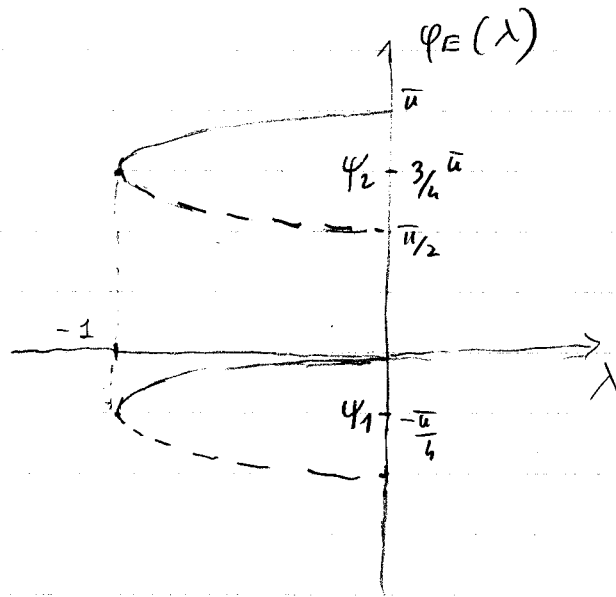
$$V''(\varphi) = 17 cl^2 \cos 2\varphi$$

$$V'''(\varphi) = -34 cl^2 \sin 2\varphi$$

	$V'(\varphi_E)$	$V''(\varphi_E)$	$V'''(\varphi_E)$	pti stazion.	stabilità
$\varphi_1$	0	0	$\neq 0$	flesso	instabile
$\varphi_2$	0	0	$\neq 0$	flesso	instabile
$\varphi_1$	0	< 0		max	instabile
$\varphi_2$	0	> 0		min	stabile
$\varphi_3$	0	< 0		max	instabile
$\varphi_4$	0	> 0		min	stabile

I segni della  $V'(\varphi_E)$  sono stati valutati mediante il grafico di pag. 6.

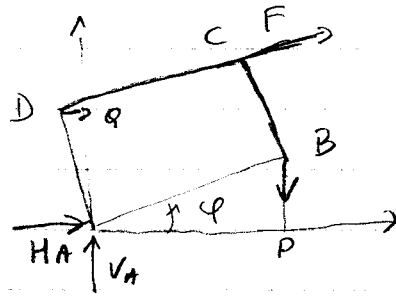
Disegnare il diagramma di biforcazione.



Il valore  $\lambda = -1$  è un valore di biforcazione tangente.

Reazioni vincolari in A

Dalle I ECS segue che:



$$\begin{cases} H_A + \vec{F}_D \cdot \vec{l}_1 + \vec{F}_C \cdot \vec{l}_1 = 0 \\ V_A + \vec{F}_B \cdot \vec{l}_2 + \vec{F}_C \cdot \vec{l}_2 = 0 \end{cases}$$

$$\vec{F}_B = -c(B-P) = -c \cdot 3l \sin \varphi \vec{l}_2$$

$$\vec{F}_D = -2c(D-Q) = -2c(-2l \sin \varphi \vec{l}_1)$$

$$\begin{aligned} \vec{F}_C &= F \text{ verso } (C-D) = F \text{ verso } (B-A) \\ &= F (\cos \varphi \vec{l}_1 + \sin \varphi \vec{l}_2) \end{aligned}$$

Allora

$$\begin{cases} H_A = -4cl \sin \varphi_E - F \cos \varphi_E \\ V_A = 3cl \sin \varphi_E - F \sin \varphi_E = (3cl - F) \sin \varphi_E \end{cases}$$

	$\sin \varphi_E$	$\cos \varphi_E$
$\varphi_1$	$-\sqrt{2}/2$	$\sqrt{2}/2$
$\varphi_2$	$\sqrt{2}/2$	$-\sqrt{2}/2$
$\varphi_1$	$-\frac{\sqrt{1+\sqrt{1-\lambda^2}}}{2}$	$\frac{\sqrt{1-\sqrt{1-\lambda^2}}}{2}$
$\varphi_2$	$-\frac{\sqrt{1-\sqrt{1-\lambda^2}}}{2}$	$\frac{\sqrt{1+\sqrt{1-\lambda^2}}}{2}$
$\varphi_3$	$\frac{\sqrt{1+\sqrt{1-\lambda^2}}}{2}$	$-\frac{\sqrt{1-\sqrt{1-\lambda^2}}}{2}$
$\varphi_4$	$\frac{\sqrt{1-\sqrt{1-\lambda^2}}}{2}$	$-\frac{\sqrt{1+\sqrt{1-\lambda^2}}}{2}$

Abbiamo utilizzato le formule di bisezione

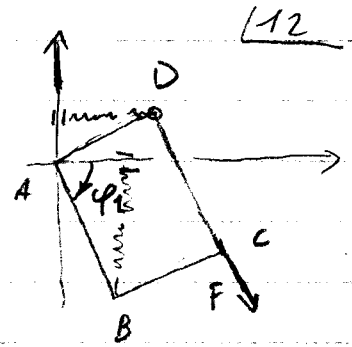
$$\sin \varphi_E = \pm \frac{\sqrt{1 \pm \sqrt{1-\lambda^2}}}{2}$$

$$\cos \varphi_E = \pm \frac{\sqrt{1 \pm \sqrt{1-\lambda^2}}}{2}$$

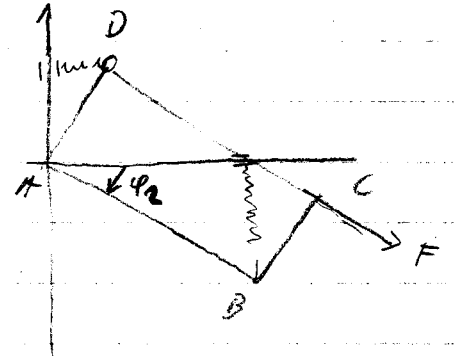
dove  $\lambda = \sin 2\varphi_E$

Quindi se  $-1 < \lambda < 0$

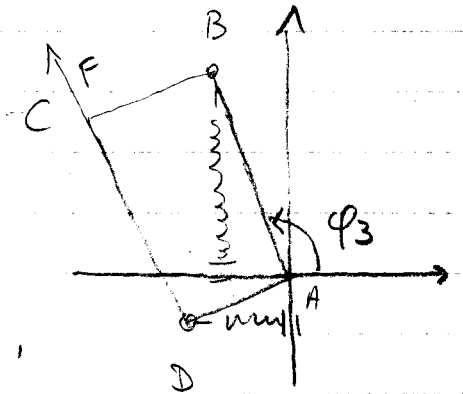
$$\varphi_1 = -\frac{\pi}{2} - \varphi, \quad \begin{cases} H_A = +4cl \sqrt{\frac{1+\sqrt{1-\lambda^2}}{2}} - F \sqrt{\frac{1-\sqrt{1-\lambda^2}}{2}} \\ V_A = (3cl - F) \left(-\sqrt{\frac{1+\sqrt{1-\lambda^2}}{2}}\right) \end{cases}$$



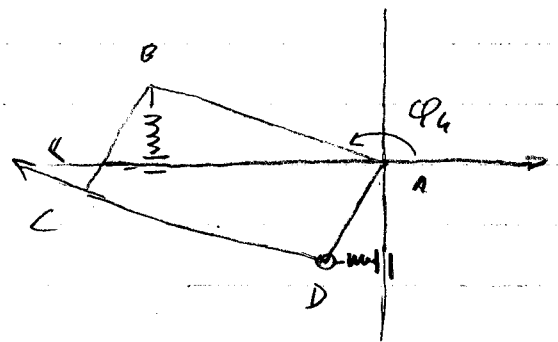
$$\varphi_2 = \varphi, \quad \begin{cases} H_A = 4cl \sqrt{\frac{1-\sqrt{1-\lambda^2}}{2}} - F \sqrt{\frac{1+\sqrt{1-\lambda^2}}{2}} \\ V_A = (3cl - F) \left(-\sqrt{\frac{1-\sqrt{1-\lambda^2}}{2}}\right) \end{cases}$$



$$\varphi_3 = \frac{\pi}{2} - \varphi, \quad \begin{cases} H_A = -4cl \sqrt{\frac{1+\sqrt{1-\lambda^2}}{2}} + F \sqrt{\frac{1-\sqrt{1-\lambda^2}}{2}} \\ V_A = (3cl - F) \sqrt{\frac{1+\sqrt{1-\lambda^2}}{2}} \end{cases}$$



$$\varphi_4 = \pi + \varphi, \quad \begin{cases} H_A = -4cl \sqrt{\frac{1-\sqrt{1-\lambda^2}}{2}} + F \sqrt{\frac{1+\sqrt{1-\lambda^2}}{2}} \\ V_A = (3cl - F) \sqrt{\frac{1-\sqrt{1-\lambda^2}}{2}} \end{cases}$$



N.B. Se  $\lambda = -1$ , i 4 valori di equilibrio collinano in  $\varphi_1$  e  $\varphi_2$ .  
Analogamente succede per le regioni circolari.

$$\varphi_1 = \varphi_2 = \varphi_1, \quad H_A = (4cl - F) \frac{1}{\sqrt{2}}, \quad V_A = (3cl - F) \left(-\frac{1}{\sqrt{2}}\right)$$

$$\varphi_3 = \varphi_4 = \varphi_2, \quad H_A = -(4cl + F) \frac{1}{\sqrt{2}}, \quad V_A = (3cl - F) \frac{1}{\sqrt{2}}$$

## Dinamica

Come abbiamo già osservato, il sistema è conservativo, i vincoli sono fissi e non dissipativi. Quindi vale il Teo. di conservazione dell'energia meccanica. Scriviamo l'integrale dell'energia:

$$E = K + V$$

$$\text{dove } K = \frac{1}{2} I_{Az} \dot{\varphi}^2$$

$$A: \text{ punto fisso del rigido} \\ I_{Az} = \frac{16}{3} ml^2 \text{ dalla (3.1)}$$

Quindi

$$E = \frac{1}{2} \frac{16}{3} ml^2 \dot{\varphi}^2 + \frac{17}{2} cl^2 (\sin^2 \varphi - \lambda \varphi)$$

Calcolando la costante dell'energia  $E(0)$  imponendo le condizioni iniziali

$$(13.1) \quad \varphi(0) = 0, \quad \dot{\varphi}(0) = 0$$

risultato

$$E(0) = 0$$

Quindi, durante il moto del sistema con le condizioni (13.1) risultato

$$\frac{8}{3} ml^2 \dot{\varphi}^2 + \frac{17}{2} cl^2 (\sin^2 \varphi - \lambda \varphi) = 0$$

da cui

$$(13.2) \quad \dot{\varphi}^2 = \frac{51}{16} \frac{c}{m} (\lambda \varphi - \sin^2 \varphi)$$

5) Equazione pure differenziale di moto

Scriviamo l'equazione di Lagrange non conservativa

$$\frac{d}{dt} \left( \frac{\partial K}{\partial \dot{\varphi}} \right) - \frac{\partial K}{\partial \varphi} = Q_{\varphi}$$

$$\frac{\partial K}{\partial \dot{\varphi}} = I_{A2} \dot{\varphi} = \frac{16}{3} m l^2 \dot{\varphi}, \quad \frac{d}{dt} \left( \frac{\partial K}{\partial \dot{\varphi}} \right) = \frac{16}{3} m l^2 \ddot{\varphi}$$

$$\frac{\partial K}{\partial \varphi} = 0, \quad Q_{\varphi} = \frac{17}{2} c l^2 (\lambda - \sin 2\varphi)$$

Da cui

$$\frac{16}{3} m l^2 \ddot{\varphi} = \frac{17}{2} c l^2 (\lambda - \sin 2\varphi)$$

da cui

$$(14.1) \quad \ddot{\varphi} = \frac{51}{32} \frac{c}{m} (\lambda - \sin 2\varphi)$$

6) Reazioni vincolari in A durante il moto

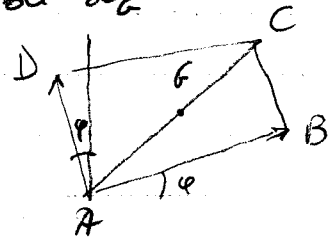
Dallo I ECD si ha

$$H'_A + \vec{F}_D \cdot \vec{e}_1 + \vec{F}_C \cdot \vec{e}_1 = m \ddot{x}_G \cdot \vec{e}_1$$

$$V'_A + \vec{F}_B \cdot \vec{e}_2 + \vec{F}_C \cdot \vec{e}_2 = m \ddot{x}_G \cdot \vec{e}_2$$

Calcoliamo il vettore accelerazione di  $\vec{x}_G$

$$\begin{aligned} \vec{x}_G &= \frac{1}{2} \vec{x}_C = \frac{1}{2} \left[ \vec{x}_B + (\vec{x}_C - \vec{x}_B) \right] \\ &= \frac{3l}{2} (\cos \varphi \vec{e}_1 + \sin \varphi \vec{e}_2) + \frac{1}{2} (\vec{x}_D - \vec{x}_A) \\ &= \frac{3l}{2} (\cos \varphi \vec{e}_1 + \sin \varphi \vec{e}_2) + \frac{1}{2} 2l (-\sin \varphi \vec{e}_1 + \cos \varphi \vec{e}_2) \\ &= l \left( \frac{3}{2} \cos \varphi - \sin \varphi \right) \vec{e}_1 + l \left( \frac{3}{2} \sin \varphi + \cos \varphi \right) \vec{e}_2 \end{aligned}$$



Quindi

$$\dot{\vec{x}}_G = l \left( -\frac{3}{2} \sin \varphi - \cos \varphi \right) \dot{\varphi} \vec{e}_1 + l \left( \frac{3}{2} \cos \varphi - \sin \varphi \right) \dot{\varphi} \vec{e}_2$$

$$\begin{aligned} \ddot{\vec{x}}_G &= l \left[ \left( -\frac{3}{2} \cos \varphi + \sin \varphi \right) \dot{\varphi}^2 - \left( \frac{3}{2} \sin \varphi + \cos \varphi \right) \ddot{\varphi} \right] \vec{e}_1 + \\ &+ l \left[ \left( -\frac{3}{2} \sin \varphi - \cos \varphi \right) \dot{\varphi}^2 + \left( \frac{3}{2} \cos \varphi - \sin \varphi \right) \ddot{\varphi} \right] \vec{e}_2 \end{aligned}$$



Allora

$$\begin{cases} H'_A = -4cl \sin \varphi - F \cos \varphi + m \left[ \left( -\frac{3}{2} \cos \varphi + \sin \varphi \right) \dot{\varphi}^2 - \left( \frac{3}{2} \sin \varphi + \cos \varphi \right) \ddot{\varphi} \right] \\ V'_A = (3cl - F) \sin \varphi + m \left[ -\left( \frac{3}{2} \sin \varphi + \cos \varphi \right) \dot{\varphi}^2 - \left( \frac{3}{2} \cos \varphi - \sin \varphi \right) \ddot{\varphi} \right] \end{cases}$$

Sostituendo a  $\dot{\varphi}^2$  la (13.2) e a  $\ddot{\varphi}$  la (14.1) si ottiene la risposta